

## 中路式RCアーチ橋における2軸曲げ評価 と終局限界状態に関する考察研究

Study on the Evaluation of Bi-axial Bending and Ultimate Limit State  
of A Half-Through Type Reinforced Concrete Arch Bridge

大塚 久哲\*, 矢眞 亘\*\*, 夏 青\*\*\*

Hisanori Otsuka, Wataru Yabuki, Qing Xia

\*工博 九州大学大学院教授 工学研究科建設システム工学専攻 (〒812-0053 福岡市東区箱崎6-10-1)

\*\*修(工) 九州大学大学院助手 工学研究科建設システム工学専攻 (〒812-0053 福岡市東区箱崎6-10-1)

\*\*\*\*九州大学大学院修士課程 工学研究科建設システム工学専攻 (〒812-0053 福岡市東区箱崎6-10-1)

A half-through type reinforced concrete arch bridge subjected to the seismic waves in three directions is analysed. This paper clarifies the necessity of elastoplastic dynamic analysis and the importance of considering the coordination of the bi-axial bending for the analysis of this bridge. The bi-axial bending coordination curve is changed to check the effect of the shape of the yield curve on the dynamic behavior of this bridge. Furthermore this bridge is analysed by increasing the amplification of seismic waves to investigate the order and location of plastic hinge in arch ribs.

*Key Word:*Half-through type reinforced concrete arch bridge, bi-axial bending,  
ultimate limit state

### 1. はじめに

近年、アーチ橋、ラーメン橋、斜張橋等の不静定橋梁の耐震検討に関する研究が、数多く行われるようになってきた。

著者らも、当該橋梁に関し、せん断ばねの適用の効果<sup>①</sup>、部材の軸力変動を考慮した場合の応答性状の違い<sup>②</sup>など、橋梁全体の弾塑性地震応答に関する一連の研究を行ってきた。

本研究では、さらに精度良い応答解析に基づく中路アーチ橋の合理的耐震設計を行うために、2方向地震力の効果の把握（いわゆる2軸曲げ問題）と、塑性ヒンジ発生点の増加によるアーチ橋全体系終局状態の把握の2点に着目し、ケーススタディーによる検討を行った。

現在の耐震設計では、部材の2つの主軸方向の性状を独立に考えているが、複雑な三次元応答の把握が求められるアーチ橋においては、2方向の曲げモーメントの相互作用を考慮することが、非常に重要であると考えられる。

2方向地震力に対する構造物の非線形挙動の把握に関する研究には、部材を断面主軸から45度ずらした方向に

載荷した場合の実験的繰り返し履歴特性を、ファイバー法によりシミュレート可能であることを示した古市ら<sup>③</sup>の研究、骨組要素に部材の降伏曲面を導入することで、2軸方向の性状の相関関係を数値的に考慮した磯崎ら<sup>④</sup>、為広<sup>⑤</sup>による研究などがある。

しかしながらこれらの研究は、主として部材レベルにおける検討がほとんどであり、アーチ橋のような高次の不静定構造物の全体系応答の検討にこれらを適用したケースは数少ない<sup>例えば⑥</sup>。そこで本研究では、ファイバー法に比べ、計算効率の良い2軸曲げ相関関係を考慮した非線形骨組解析を行い、それがアーチ橋の全体系応答に及ぼす影響を検討した。

つづいて、アーチ橋の終局状態を把握するために、地震荷重の増大に伴う塑性ヒンジの発生の推移、および破壊のメカニズムの検討を行った。現在、各種不静定構造物の終局状態の把握には、ブッシュオーバー解析による検討が数多く行われている<sup>例えば⑦</sup>。しかしアーチ橋のような、地震時の挙動が複雑な構造物においては、地震時ににおける動的状態での検討が必要であり、複数の塑性ヒンジを考慮した破壊メカニズムを動的解析によって確かめ

ることは重要である<sup>8)</sup>。そこで、本研究では、入力加速度の大きさをパラメータとした動的解析を行うことで、地震動作用中に推移する部材の損傷の程度およびエネルギー吸収が、全体の応答性状に及ぼす影響を検討した。

## 2. 解析対象橋梁の構造概要

本解析の対象橋梁は、支間長92mを有し、国内最大規模の中路式コンクリートアーチ橋である。図-1に示すように、2本の鉄筋コンクリートアーチリブが横繋ぎ梁及び下横梁によって接合され、P R C床版がアーチリブからの吊鋼材で弾性支持された構造で、アーチリブはスプリング部において岩定着された橋台に固定されている。また、主桁はアーチリブ間の下横梁にアンカーバーを有するすべり支承によって支持されるとともに、主桁両端部に反力分散ゴム座が設置されている。構造概要と使用材料を表-1に示す。

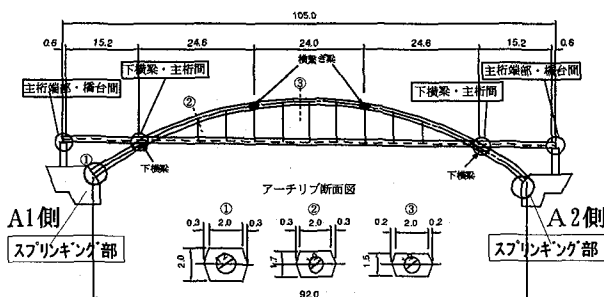


図-1 中路式RCアーチ橋の一般図（単位：m）

表-1 構造概要

構成概要	構造形式	コンクリート中路式アーチ橋
	橋長	105.0m
	支間長	15.2m+73.2m+15.2m
	アーチ支間長	92.0m
	幅員構成	7.25m+2.50m
	縦断勾配	勾配 2.5%
	横断勾配	勾配 2.0%
使用材料	コンクリート	アーチリブ： $\sigma_{ck}=39.2\text{MPa}$ 補剛桁： $\sigma_{ck}=34.3\text{MPa}$
	PC鋼材	12T12.7mm, 7T12.7mm, F360PH, F270PH
	鉄筋	SD295

### 2.1 解析モデル

本解析では、対象橋梁を図-2に示すような立体骨組モデルにモデル化した。主桁は床組構成梁に床版の剛性を考慮した線形梁要素、吊りケーブルは線形要素によりモデル化したものである。2本のアーチリブはそれぞれ64

分割した。また、復元力特性は図-3に示すJ R総研RC型剛性低減型3折れ4勾配モデル<sup>9)</sup>とした。

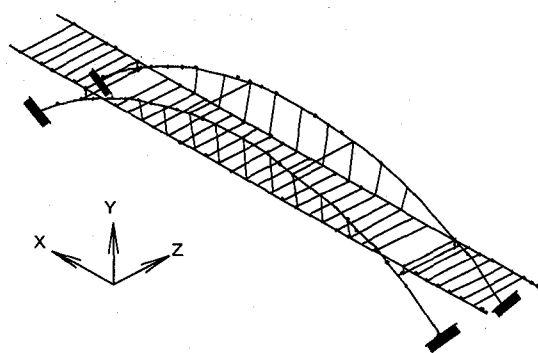


図-2 立体骨組モデルと全体座標系

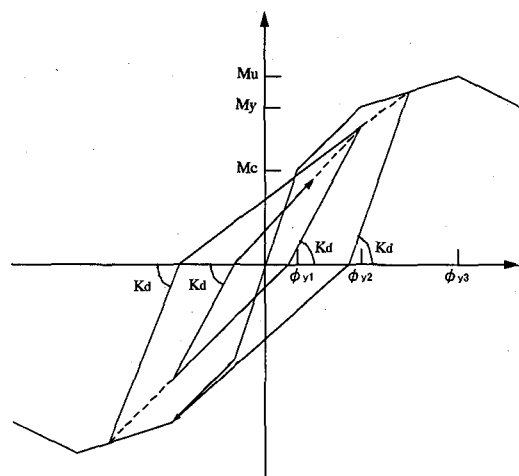


図-3 JR総研RC型モデル

### 2.2 境界条件

境界条件を表-2に示す。

表-2 境界条件

	下横梁 ・主桁間	主桁橋部 ・橋台間	アーチ スプリング部
並	橋軸方向	Free	Free
進	橋軸直角方向	Free	Fix
	鉛直方向	Fix	Fix
回	橋軸方向	Free	Fix
転	橋軸直角方向	Free	Fix
	鉛直方向	Free	Fix

### 2.3 固有値解析

固有値解析による対象橋梁の固有値を表-3に示す。

表-3 固有値解析結果

次 数	固有周期 (sec)	有効質量	並進3方向全有効 質量比(累積%)
1	2.495	264.29	20.3
2	0.737	130.77	30.3
3	0.711	12.62	31.3
4	0.479	46.07	34.8
5	0.452	0.13	34.8
6	0.416	108.59	43.1
7	0.384	70.58	49.5
8	0.325	0.02	49.5
9	0.278	184.85	63.7
10	0.251	9.86	64.4

### 3. 入力地震動

入力地震動は道示平成8年版に準じ、JMA 神戸観測波の修正波形を用いる(図-4)。なお、入力時間は主要動を含む20秒間とし、EW成分を橋軸方向、NS成分を橋軸直角方向、UD成分を鉛直方向に作用させた。

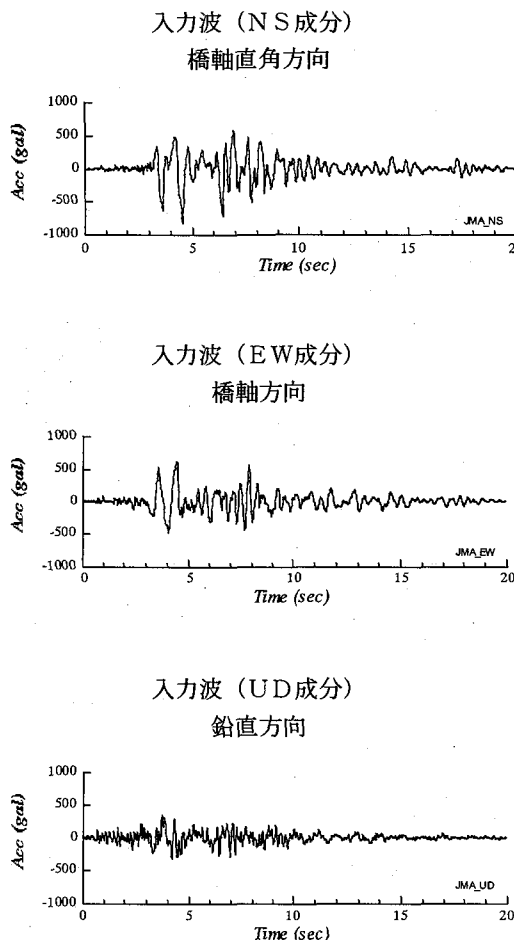


図-4 入力地震動波形

### 4. 地震応答解析

### 4.1 2軸曲げ相関曲線

2軸曲げでは、3次元梁要素内の弾塑性評価位置ごとに、図5-1に示すようなM<sub>y</sub>-M<sub>z</sub>平面上の2軸曲げ相関曲線(ひび割れ曲線と降伏曲線)を設定する。これらは主軸別に設定されたひび割れモーメントM<sub>c</sub>、降伏モーメントM<sub>y</sub>を包絡する曲線で、式(1)のような方程式で定義される。式中M<sub>y</sub>、M<sub>z</sub>は主軸2方向の曲げ耐力で、ひび割れ曲線の場合2方向のM<sub>c</sub>、降伏曲線の場合は2方向のM<sub>y</sub>である。この曲線と部材内の評価位置に発生している2方向モーメント(M<sub>y</sub>、M<sub>z</sub>)の位置関係を、解析の各ステップごとにチェックし、点(M<sub>y</sub>、M<sub>z</sub>)がひび割れ曲線の内側にある場合は「弾性」、ひび割れ曲線の外側かつ降伏曲線の内側にある場合は「ひび割れ」、降伏曲線の外側にある場合は「降伏」の判断を行う。

$$\left(\frac{m_y}{M_y}\right)^{\alpha} + \left(\frac{m_z}{M_z}\right)^{\alpha} = 1.0 \quad (1)$$

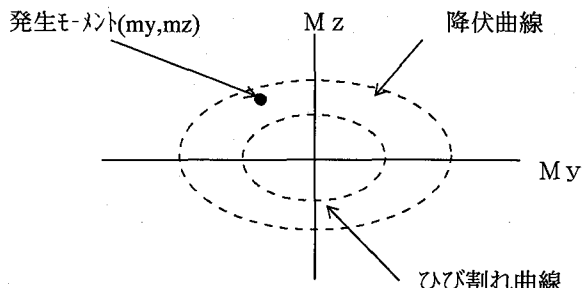


図5-1 2軸曲げ相関曲線

### 4.2 検討項目

入力地震動は、橋軸方向、橋軸直角方向、鉛直方向の3成分同時加振とし、主桁は線形梁要素としているので、本研究ではアーチリブ部だけを検討の対象とする。

解析ケースは二つある。ケース1は2軸曲げ相関を無視した場合、ケース2は2軸曲げ相関を考慮した場合で、M-M曲線の次数 $\alpha$ を変化させる。なお、ケース1の場合において入力地震波の振幅を増加させる。

両ケースとも自重解析の結果を考慮して、非線形動的解析を行っている。

### 4.3 中路式RCアーチ橋の地震時応答特性

#### (1) 2軸曲げを無視した場合

地震波3成分を同時入力した2軸曲げ相関無視(ケース1)による橋軸とアーチリブの最大モーメントM<sub>y</sub>、M<sub>z</sub>の分布を図6-1、図6-2に、最大曲率 $\phi_y$ 、 $\phi_z$ の分布を

図6-3、図6-4に示す。なお、モーメント  $M_y$  は橋軸直角曲げ、モーメント  $M_z$  は橋軸曲げによるモーメントである。曲率の表示もモーメントと同様である。

図6-1～図6-4によりアーチリブと横梁の接合部及びス

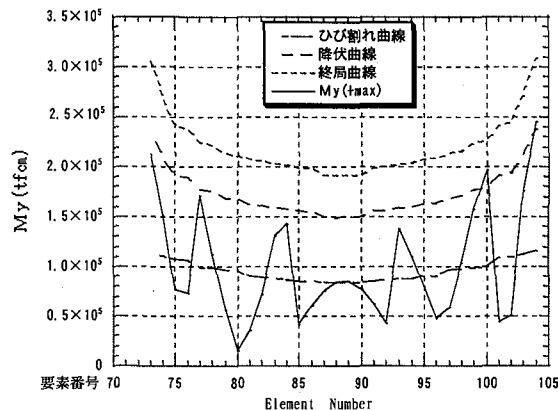


図6-1 アーチリブ最大モーメント  $M_y$  分布

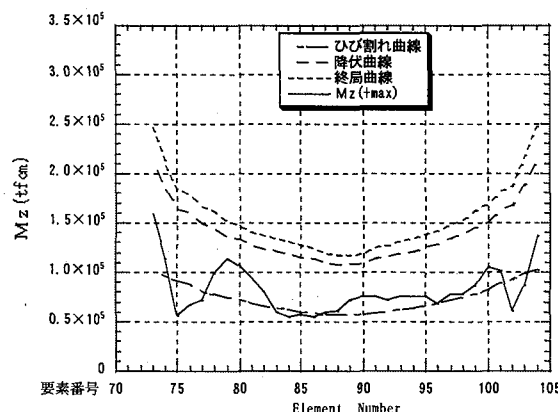


図6-2 アーチリブ最大モーメント  $M_z$  分布

プリギング部付近の損傷度が高く、特に、アーチリブと横繋ぎの接合部では最大曲率  $\phi_y$  が降伏曲率の1.9倍になっていることが知られる。

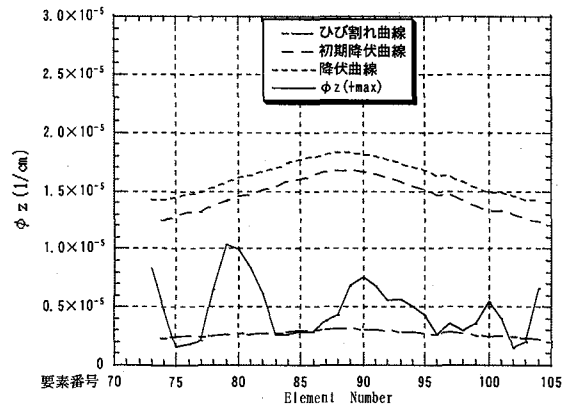


図6-4 アーチリブ部最大曲率  $\phi_z$  分布

次に地震波の振幅を増加させることにより、損傷度が高い7箇所における応答塑性率と曲げモーメントの変化を、図7-1～図7-4に示す。なお、要素番号の位置を表-4に示す。

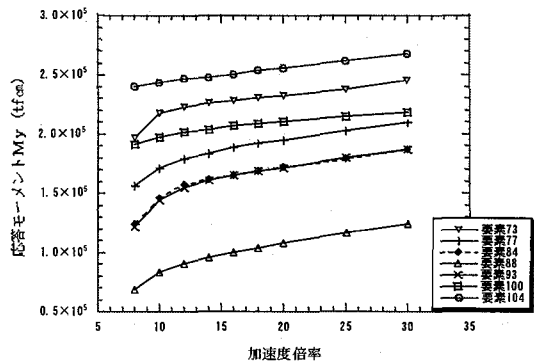


図7-1 アーチリブ部のモーメント  $M_y$  の変化

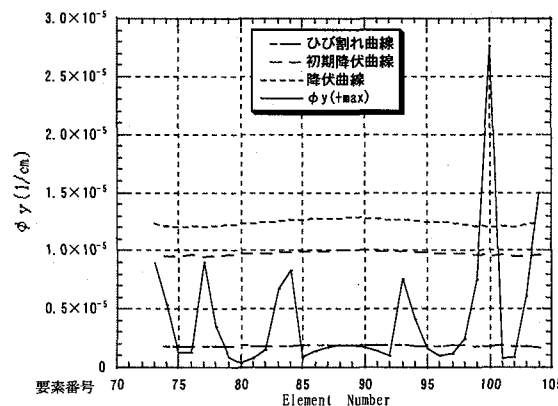


図6-3 アーチリブ部最大曲率  $\phi_y$  分布

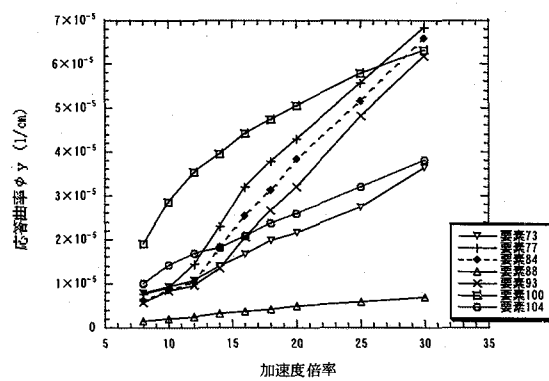


図7-2 アーチリブ部の曲率  $\phi_y$  の変化

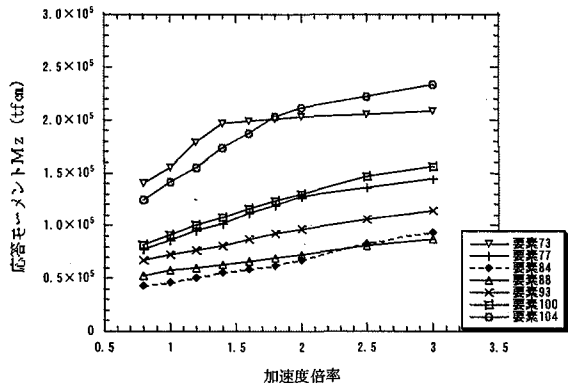


図7-3 アーチリブ部のモーメントMzの変化

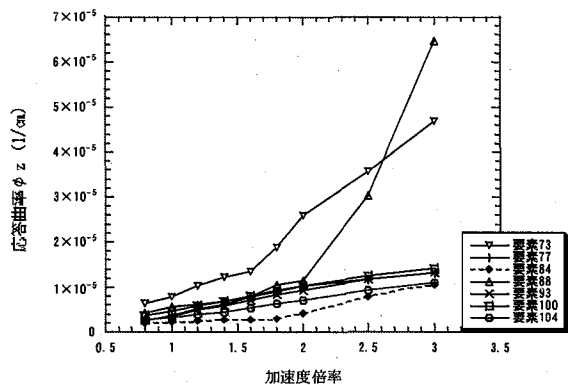


図7-4 アーチリブ部の曲率phi zの変化

表4 要素番号の位置表

要素	アーチ橋上位置
要素73	スプリングング部 (A 1側)
要素77	アーチリブと下横梁接合部 (A 1側)
要素84	アーチリブと横繋ぎ梁接合部 (A 1側)
要素88	アーチリブ中央部
要素93	アーチリブと横繋ぎ梁接合部 (A 2側)
要素100	アーチリブと下横梁接合部 (A 2側)
要素104	スプリングング部 (A 2側)

図7-1～図7-4により、地震荷重の増加に伴い、アーチリブと横梁接合部、スプリングング部で損傷が進んでいくこと、特に、荷重が1.0倍から1.5倍に増加する時、変化が大きい。降伏塑性率を超える点の数がY方向とZ方向で異なることがわかる。phi yでは降伏点を超える点が多数ある。すなわち、荷重の増加に伴い面外方向には塑性ヒンジが次々に発生していくことが予想される。一方phi zでは降伏点を超える点はA 1側スプリングング部とアーチクラウン部の2点のみであり、この2点で曲率塑性率が伸びていく様子が知られる。したがって、中路式アーチ橋の終局限界状態を考えるとき面外方向の塑性化に注意を払う必要があると言えよう。

## (2) 2軸曲げ相関考慮

通常、曲率塑性率muの定義は各軸ごとに行っている。すなわち式(2)、式(3)により、それぞれY軸、Z軸方向の曲率塑性率を定義している。

$$Y\text{軸} \quad \mu = \frac{\phi}{\phi_y} \quad (2)$$

$$Z\text{軸} \quad \mu = \frac{\phi}{\phi_z} \quad (3)$$

しかしながら2軸曲げの概念に導入すると、最大塑性率muを計算するとき式(4)のように定義される。ここにphi y zは図5-2に示すような曲率相関曲線による値であり、phiは原点からのベクトルで表示された値である。

$$\mu = \frac{\phi}{\phi_{yz}} \quad (4)$$

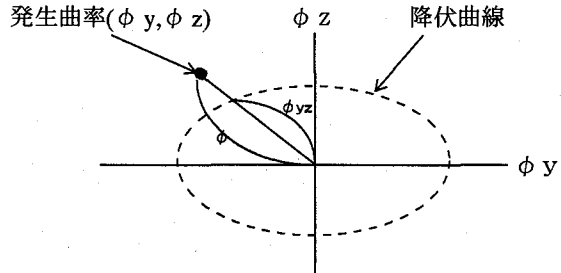


図5-2 本研究で考えた塑性曲率の評価法

なお、phi - phi曲線はM-M曲線上で各alphaに対するMを決めた後、各要素のM-phi曲線からMに対応するphiを算出して作る。

M-M曲線の次数（式(1)のalpha）を変化させると2軸曲げ相関曲線の形が変わる。本節ではアーチリブ部の損傷度が高い箇所のM-M関係、phi - phi関係をとりあげて検討する。以下、中路式アーチ橋のアーチリブ部をモデルにし、2軸曲げ相関考慮した場合（ケース2）と無視した場合（ケース1）二つのケースに対してalphaを変化した場合のアーチリブ部の損傷度が高い箇所のM-M関係、phi - phi関係及び塑性率の変化について考察する。

要素73番をサンプルとして、alphaを変化させたときのM-M相関曲線とphi - phi相関曲線を図8-1、図8-2に示す。ここに横軸がMy (phi y)、縦軸がMz (phi z)を示す。単位はtfcm (1/cm)。

alphaを1.0から増加させていくとM-M相関曲線の描く軌跡は、徐々に大きくなり、2軸曲げ相関を無視した場合の軌跡に近づく。逆にphi - phi相関曲線はalphaの増加に伴い、徐々に軌跡が小さくなり、相関無視の軌跡に近づく。

次に表-5に最大曲率塑性率を示す。

表-5により、alphaの値を大きくするにつれて、相関を無視の場合に近づいていくことがわかり。alpha=2.0であれば要素73を除くと両者の差異は10%程度である。曲率表示の相関曲線のalphaがどの程度の値であるかは、過去の相関曲線が断

面力で表示されているので、現段階では不明であり、今後の研究が必要である。

表-5 最大曲率塑性率

要素番号	最大曲率塑性率 ( $\phi_{max}$ )				
	2軸曲げ相関考慮				相関無視
	$\alpha=1.0$	$\alpha=1.5$	$\alpha=2.0$	$\alpha=3.0$	
要素73	5.548	4.451	1.716	2.820	2.891
要素77	2.283	2.314	3.434	3.708	3.218
要素84	0.930	2.811	2.695	2.647	2.745
要素93	3.750	2.903	2.488	2.420	2.383
要素100	2.637	3.272	2.616	2.867	2.985
要素104	6.235	5.072	2.121	1.372	2.324

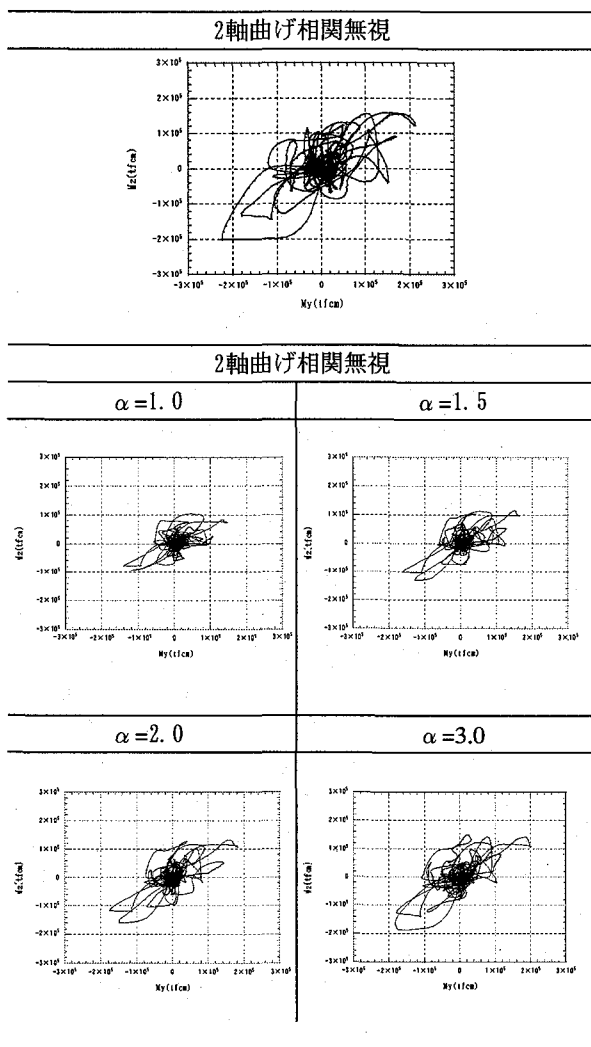


図8-1 要素73 M-M相関曲線

2軸曲げ相関が  $\alpha = 2.0$  のときと2軸曲げ相関無視のときの最大曲率比較を図9-1～9-4に示す。

図9-1～図9-4よりY軸の最大モーメント、最大曲率は相関無視の場合と相関考慮の場合ほとんど変わらないが、Z軸の最大モーメント、最大曲率については、ほと

んどの場所で相関を無視した場合の結果が相関を考慮した場合よりも大きな値を示している。

アーチリブ部の最大加速度と最大変位比較を図10-1～図10-6に示す。

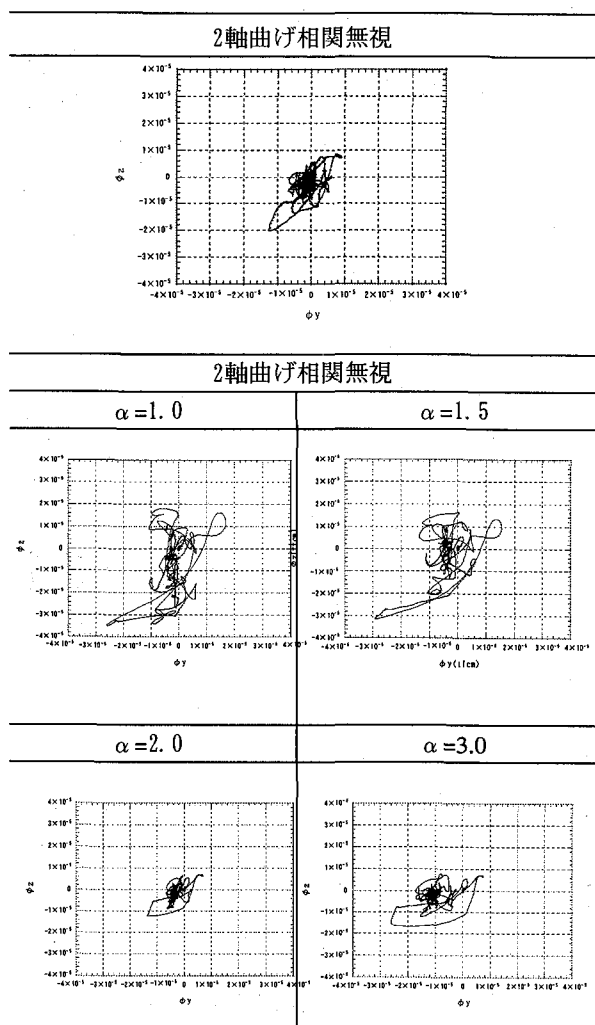


図8-2 要素73  $\phi-\phi$ 相関曲線

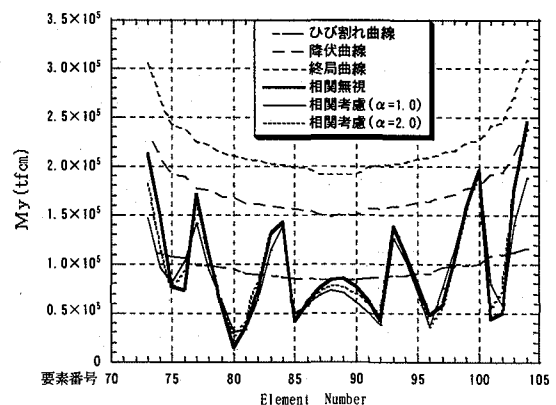


図9-1 アーチリブ部最大モーメント  $M_y$ 分布比較図

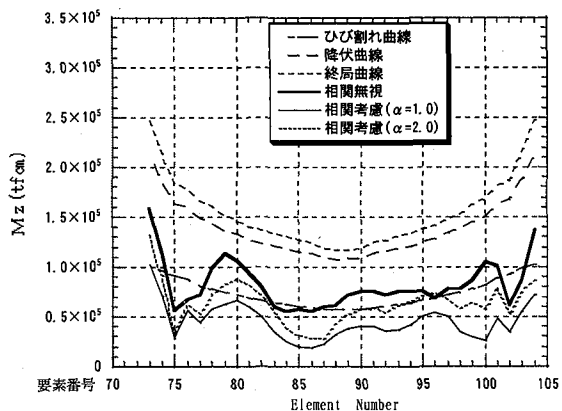


図9-2 アーチリブ部最大モーメントMz分布比較図

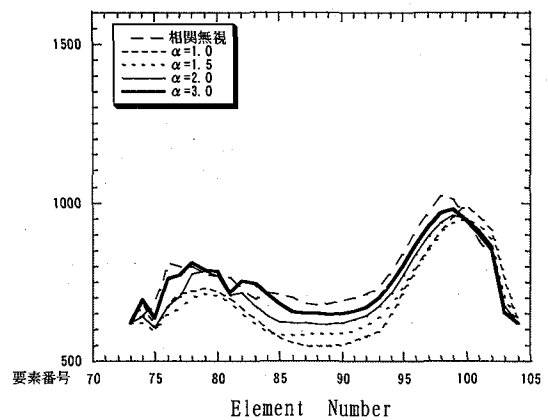


図10-1 X軸最大加速度比較図

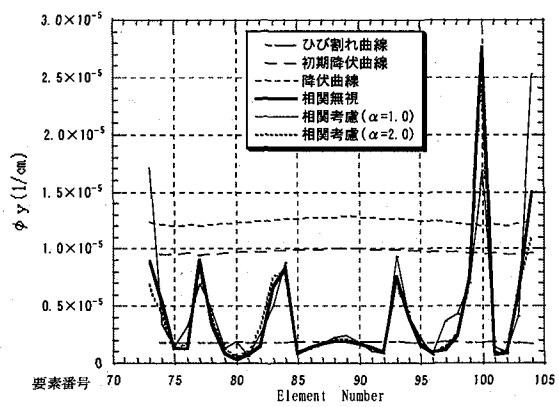


図9-3 アーチリブ部最大曲率phi\_y分布比較図

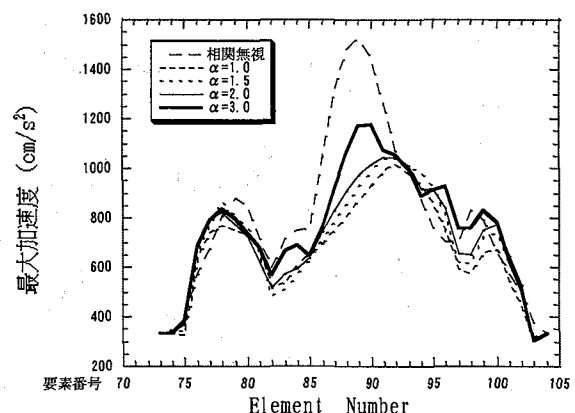


図10-2 Y軸最大加速度比較図

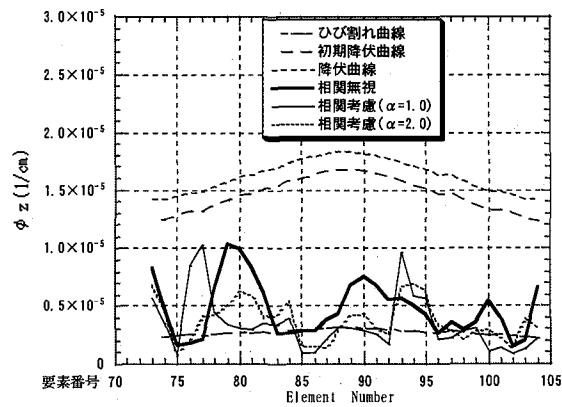


図9-4 アーチリブ部最大曲率phi\_z分布比較図

図10-1～図10-3により、2軸相関を無視した場合は相関考慮の場合よりアーチリブ部の最大加速度が大きいことがわかる。その差はY軸方向加速度において最も大きく、Z軸方向において最も小さい。2軸相関を考慮する場合には、 $\alpha$ の増加に伴なって加速度の最大値が増加していくことが分かる。

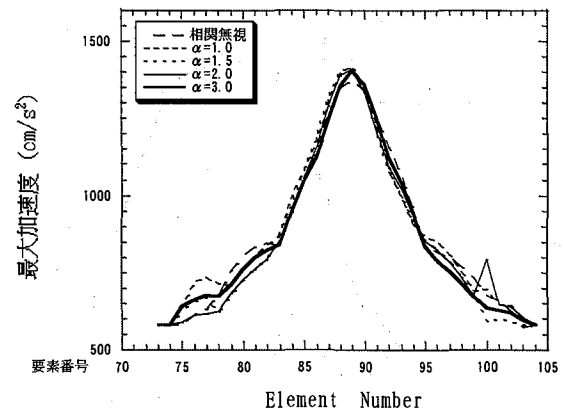


図10-3 Z軸最大加速度比較図

図10-4～図10-6からは、2軸相関を考慮した場合は相関無視の場合より最大変位が大きく、その差はX軸方向変位が最も大きく、Z軸方向変位が最も小さいことがわかる。相関を考慮する場合には、 $\alpha$ が大きくなるに伴い、最大変位の数値が小さくなって、相関無視の軌跡に近づく。

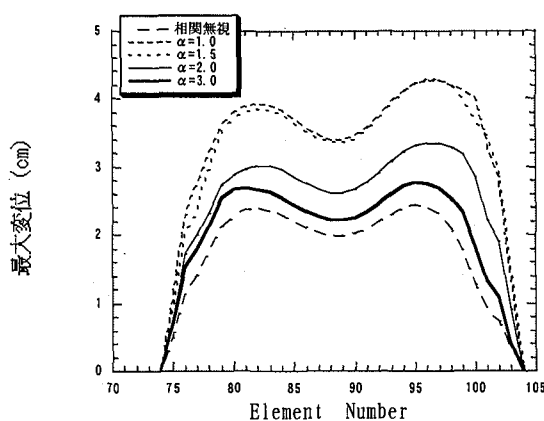


図10-4 X軸最大変位比較図

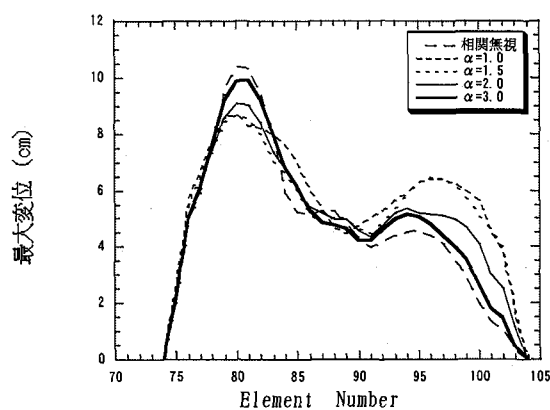


図10-5 Y軸最大変位比較図

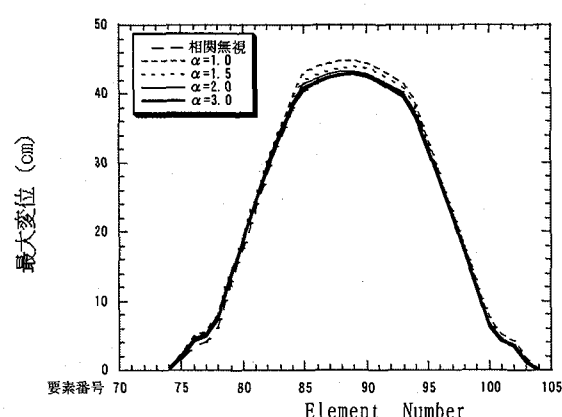


図10-6 Z軸最大変位比較図

## 5.まとめ

本研究では行った数値計算結果より以下の諸点に関する知見が得られた。

- JMA 神戸の観測波形を入力した場合アーチリブと下

横梁接合部の面外方向曲率  $\phi_y$  が最も大きい。

- ・入力地震動の振幅を増加させていくと、 $\phi_y$  では降伏点を超える点が多くてくるが、 $\phi_z$  では降伏点を超える点が2点のみである。このことから、アーチ橋の終局限界状態を考えるときは面外方向の崩壊に注意すべきと思われる。
- ・曲率相関曲線における  $\alpha$  の妥当な値についてはまだ研究成果がない状況であるが、 $\alpha = 3.0$ 程度以上であれば、相関を考慮した場合と無視した場合の差は断面力、変位、加速度共に小さいといえよう。

今後の性能設計への移行を考えた場合、構造物の終局限界状態を明らかにすることが、特に重要である。今後、2軸相関を考えた場合の入力地震動の増加による応答塑性率の変化などについても、明らかにしていく予定である。

## 参考文献

- 1) 水取、大塚、浜崎：中路式アーチ橋の耐震性向上に対する弾塑性ばねの効果、構造工学論文集, Vol. 45A, 1999. 3, pp. 975-984
- 2) 麻生、水取、首藤、有角、百田、大塚：PC 斜張橋の非線形動的解析に関する検討、第2回地震時保有水平耐力法に基づく橋梁の耐震設計に関するシンポジウム講演論文集, 1998. 12, pp. 397-404
- 3) 古市、村山：RC 柱の2軸曲げ履歴復元力特性、第1回地震時保有水平耐力法に基づく橋梁の耐震設計に関するシンポジウム講演論文集, 1998. 1, pp. 179-182
- 4) 磯崎、福澤、高橋：柱の変動軸力と2軸曲げモーメントを考慮したRC 造立体骨組みの弾塑性地震応答解析、日本建築学会構造系論文報告集, 第441号, 1992. 11, pp. 73-83
- 5) 為廣、森、沖見：2軸曲げの評価方法に関する一考察、第10回日本地震工学シンポジウム, 1998. pp. 2379-2384
- 6) 畑、幸左、渡辺、立石：ファイバーモデルによるRC アーチ橋の耐震解析、第10回日本地震工学シンポジウム, 1998. pp. 2397-2402
- 7) 江上、川上、須田、織田：水晶山橋の耐震設計について、第2回地震時保有水平耐力法に基づく橋梁の耐震設計に関するシンポジウム講演論文集, 1998. 12, pp. 383-388
- 8) 矢葺、大塚、根井、堤、岡田：上部構造の非線形性を考慮した動的解析によるPC 連続ラーメン橋の終局限界状態に関する考察、第25回地震工学研究発表会講演論文集, 1999. 7, pp. 849-852
- 9) 玉井、瀧口、佐藤：RC 部材の復元力特性、鉄道総研報告 Vol. 13, No. 4, 1999. 4, pp. 15-20  
(1999年9月17日 受付)